

セメントコンクリート中の気泡構造 (特に気泡球間隔及び空気量について)

岐阜大学 正 大波文彦
“ ” 森本博昭

1. まえがき

モルタル、コンクリート中に導入された空気泡の量と分布状態はその諸物質に大きな影響をあたへすことが知られている。従来の研究においては空気量と物理について検討を行なつた例が大部分である。しかし最近外相系複合材料の物理に対する phase geometry が認識されはじめ、特に構造敏感な強度特性においてはその影響がかなり存在するものと考えらるに至った。このようなことからモルタル、コンクリート中に導入された空気泡の幾何学的な分布構造は量とともにその物理に重大な影響を及ぼすものと考えられる。しかし実際の(三次元的な)空気泡の分布構造を直接観察することはできない。そこで著者らは断面にあらわれた気泡孔の分布構造の観測データーをもとに確率統計的手法によりその三次元的な分布構造を推定する方法について検討を行ない、気泡球半径の三次元的分布構造の推定手法についてはすでに報告⁽¹⁾す。そこで本研究では気泡球分布構造のもう一つ重要な指標であり気泡球間隔の三次元的な分布および量的因子の空気量の推定法について検討を行なつたものである。

2. 気泡球間隔の解釈

二つの気泡球の間隔を次のように定義する。図-1に示すように任意の二つの気泡球の中でも結ぶ線分が他の気泡球と交わらない時この線分を気泡球間隔とする。同様にして断面(X-X)にあらわれた気泡孔間隔 d を定義することができる。今、l, d の確率密度曲線および平均をそれぞれ、 $f(l)$, $f(d)$, \bar{l} , \bar{d} とする。図-1を参照して断面 X-X にやべ間隔 l が現われる確率は $P(l) = \int_0^{\infty} f(l) dl / \bar{l}$ — (1)

次に l なる線分が図-1に示すような x なる位置を占める確率は

$$P(x) = \frac{dx}{l} \quad l \leq x \leq 2l \quad (0 \leq \theta \leq \frac{\pi}{2}) \quad — (2)$$

以上より l なる線分が x なる位置を占める確率 $P(l \cap x)$ は

$$P(l \cap x) = \int_{x/(2l-x)}^{x/l} f(l, x) dl dx / \bar{l} \quad — (3)$$

図-1より明らかなる $d^2 = x(2l-x) \rightarrow d = \sqrt{x(2l-x)}$ — (4)

ならずより $d \leq d'$ なる確率 $P(d \leq d')$ ($0 \leq d' < \infty$) を求める

$$P(d \leq d') = \int_{x/(2l-x) \leq d'^2}^{\infty} f(l, x) dl dx = \frac{1}{\bar{l}} \int_{x/(2l-x) \leq d'^2}^{\infty} f(l) dl dx \quad — (5)$$

積分区域に注目して式(5)を変形すれば結果的に式(6)となる。

$$P(d \leq d') = 1 - \frac{1}{\bar{l}} \int_{d'}^{\infty} f(l) \sqrt{l^2 - d'^2} dl \quad — (6)$$

と = 3 が P(d ≤ d') は気泡孔間隔 d の確率分布曲線である。

$$[\partial P(d \leq d') / \partial d']_{d'=d} = f(d) \quad — (7)$$

から f(d) を算出することができる。(基礎式(6)は半径分布に関するものと全く同型の式である⁽¹⁾)

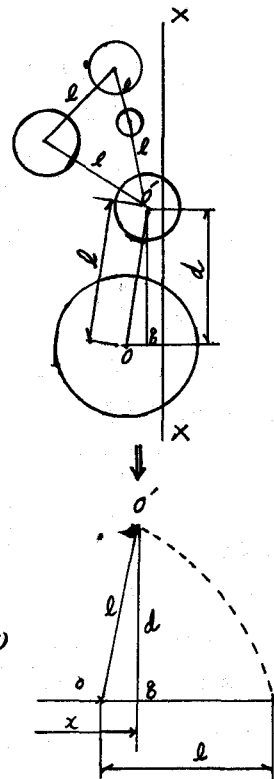


図-1

さて、式(6)(7)から $f(l)$ を推定する手順として本研究ではまず $f(l)$ を仮定し式(6)(7)から解釈的に $f(d)$ を求める。これと同様の順序から得られる $f(d)$ (ヒストグラム) を対比検討して $f(d)$ を決定するという方法によった。

3. モルタルコンクリートに対する $f(d)$ の型

前述のように式(6)(7)より $f(l)$ を推定するにはまず $f(l)$ を仮定しなければならない。そこで本研究では気泡球半径の解釈と同様の指摘函数を仮定した。すなわち

$$f(l) = \lambda e^{-\lambda l} \quad (8) \quad (\lambda: \text{正定数}), \quad \bar{l} = \int_{-\infty}^{\infty} l f(l) dl = \frac{1}{\lambda} \quad (9)$$

式(9)を式(6)に代入して

$$P(d \leq d') = 1 - \lambda^2 \int_{d'}^{\infty} \sqrt{l^2 - d'^2} \cdot e^{-\lambda l} dl \quad (9) \quad \because \bar{l} = l - d' = l' \text{ とき } l = d' + l'$$

$$P(d \leq d') = 1 - \lambda^2 \int_{d'}^{\infty} \sqrt{l'^2 + 2d'l'} \cdot e^{-\lambda(l'+d')} dl' = 1 - \lambda^2 e^{-\lambda d'} \int_{0}^{\infty} \sqrt{l'^2 + 2d'l'} \cdot e^{-\lambda l'} dl' \quad (10)$$

$$\begin{aligned} \text{式(10)より} \quad f(d) &= \left[\frac{\partial P}{\partial d'} \right]_{d'=d} = \left[\lambda^2 e^{-\lambda d'} \int_{0}^{\infty} \sqrt{l'^2 + 2d'l'} \cdot e^{-\lambda l'} dl' - \lambda^2 e^{-\lambda d'} \int_{0}^{\infty} \frac{\partial(\sqrt{l'^2 + 2d'l'})}{\partial d'} \cdot e^{-\lambda l'} dl' \right]_{d=d'} \\ &= \left[\lambda^2 e^{-\lambda d'} \left\{ \lambda L(g(l')) - L\left(\frac{\partial g(l')}{\partial d'}\right) \right\} \right]_{d=d'} \quad \because L: \text{ラプラス変換子} \\ &\quad g(l') = \sqrt{l'^2 + 2d'l'} \end{aligned}$$

式(12)より $f(d)$ を算出することができる。しかし式(12)を厳密に計算するには困難であるので本研究では $g(l') \approx C_1 l'^{C_2} \quad (12) \quad \frac{\partial g(l')}{\partial d'} \approx C_1 l'^{C_2} \quad (13)$ とおき式中の定数は $f(d)$ を求めらる d の座標範囲内にて最小二乗法を適用するところにより決定した。式(12), (13)を式(12)に代入して

$$f(d) = \left[\lambda^2 e^{-\lambda d'} \left\{ C_1 \frac{\Gamma(C_2+1)}{\lambda^{C_2}} - C_1' \frac{\Gamma(C_2'+1)}{\lambda^{C_2+1}} \right\} \right]_{d=d'} \quad (15) \quad \because L: \text{ガーベー関数}$$

図-2は $\lambda = 0.5 \sim 4.0$ に対して式(15)より算出した $f(d)$ の値である。

4. 空気量の解析

平均気泡球半径 \bar{l} , 平均気泡球面積 \bar{A} , 空気量 P のモルタルコンクリートにおける空気量 P はどの部分においても確率的に一様であると考える。今、1個の気泡球とそれをとりよく実質部(モルタルコンクリート相)がらなり空気量 P の単位要素を考える。

そしてモルタルコンクリート(空気量 P)をこの単位要素に分割できるものとし、また近似的にこの単位要素を半径 $\bar{l}/2$ の球に換算できるものとすれば、この場合

該球の中心距離は \bar{l} であると考えることができます。従って単位要素の体積を U とすれば $U = \frac{4}{3}\pi(\frac{\bar{l}}{2})^3 = \frac{1}{6}\pi\bar{l}^3 = \frac{\pi}{6\lambda^3} \quad (16)$ 一方、単位要素内の

気泡球の体積を V とすれば $P = V/U \quad (17)$ と曰ふ。

今、気泡球半径 r の確率密度曲線を $f(r) = \lambda e^{-\lambda r}$ とすれば

$$\bar{V} = \frac{18}{\frac{3}{36}\pi \cdot \lambda^3 \cdot (\frac{3}{4}\pi)^{4/3}} \quad (18) \quad \begin{matrix} \text{(文献(1)を参考} \\ \text{照れたい)} \end{matrix}$$

$$\text{従って } P = \left(\frac{\lambda}{\bar{l}} \right)^3 \cdot \left[\frac{108}{\pi} \left(\frac{1}{36\pi} \cdot \left(\frac{3}{4}\pi \right)^{4/3} \right)^{-1} \right] \quad (19)$$

文献(1)

大谷・森本、工学会誌第31回年次講演集165、1981、pp36~37

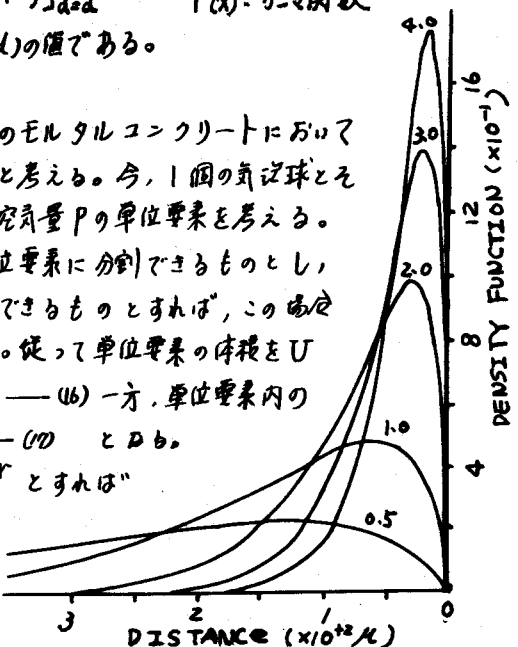


図-2. $f(d)$